

Supplementary Table S1. Custom TALENs and target sites.

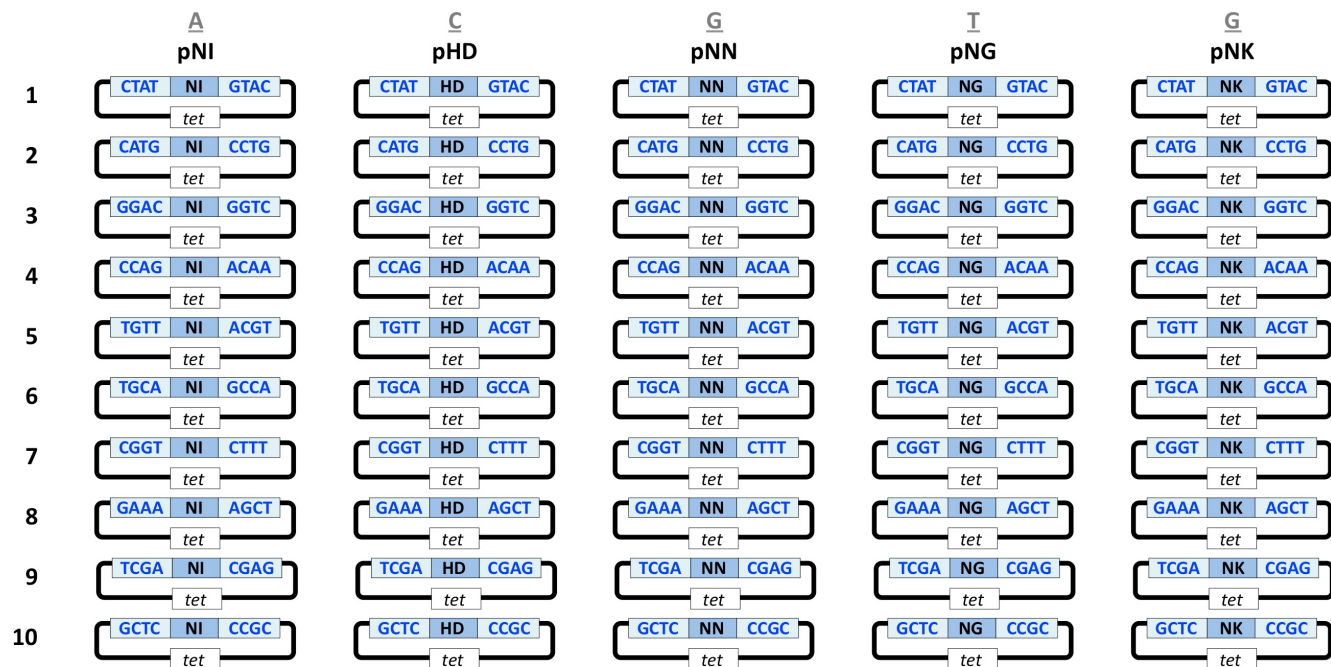
| Gene | Organism | TAL1, TAL2 Plasmids | TAL1, TAL2 Repeat number | Spacer | TAL1, TAL2 RVD Sequences | DNA Target Sequence with Spacer (TAL1, TAL2 underlined) |
|--------------|-------------|-----------------------|--------------------------|--------|---|--|
| HPRT1 A | Human | pTAL141N, pTAL142N | 17,20 | 15 | TAL1: NN HD NI NG NI HD HD NG NI NI NG HD NI NG NG NI NG TAL2: HD HD NI NG NN NI NN NN NI NI NG NI NI NI HD NI HD HD NG TAL1: HD HD NI NG NG HD HD NG NI NG NN NI HD NG NN NG NI NN NI NG TAL2: NI NG NI HD NG HD NI HD NI HD NI NI NG NI NN HD NG | 5'- <u>GCATACCTAATCATTAT</u> GCTGAGGATTGGAA <u>AGGGTGTATTCCTCATGG</u> |
| HPRT1 B | Human | pTAL143N, pTAL144N | 20,17 | 15 | TAL1: NN HD NI NG NG HD HD NG NI NG NN NI HD NG NN NG NI NI NG TAL2: NI NG NI HD NG HD NI HD NI HD NI NI NG NI NN HD NG | 5'- <u>CCATTCCATGACTGTAGAT</u> TTATCAGACTGAAG <u>AGCTATTGTGAGTAT</u> |
| CFTR A | Human | pTAL148N, pTAL149N | 29,30 | 28(25) | TAL1: NN NN NI NG NG NI NG NN HD HD NG NN NN NI HD HD NI NG NG NI NI NI NN NI NI NI NI NG TAL2: NN NN HD NI NG NN HD NG NG NG NN NI NG NN NI HD NN HD NG NG HD NG NN NG NI NG HD NG NI NG | 5'- <u>GGATTATGCCCTGGCACCATTAAGAAAAT</u> ATCATTTGGTGTTCCTATGATGAAT <u>ATAGATACAGAACGTCATCAAACATGCC</u> |
| CFTR B | Human | pTAL150N, pTAL151N | 23,28 | 25(22) | TAL1: NN NN HD NI HD HD NI NG NG NI NI NI NN NI NI NI NG NI NG HD NI NG TAL2: NN NN HD NI NG NN HD NG NG NG NN NI NG NN NI HD NN HD NG NG HD NG NN NG NI NG HD NG | 5'- <u>GGCACCATTAAAGAAAATATCAT</u> CTTGGTGTTCCTATGATGAATAT <u>AGATACAGAACGTCATCAAACATGCC</u> |
| gridlock | Zebrafish | pTAL112, pTAL117 | 17,16 | 18 | TAL1: NI NG NG NG HD NN NI HD NN HD NG HD NI NG NG HD NG TAL2: HD HD NN NN NI NI NI NN HD HD NN NI NG NN HD NG | 5'- <u>ATTCGACGCTCATCT</u> CTGGCCATGGACTTCTTG <u>ACCATCGCCTCCGGG</u> |
| white | Drosophila | pTAL152N, pTAL153N | 22,24 | 24 | TAL1: HD HD NG NN NI HD HD NI NG NG HD NI NG HD NI NN HD HD NN NG HD NG TAL2: NN HD HD HD NG HD NN NN HD HD NI NG HD NI NN NI NI NN NI NG HD NG NG | 5'- <u>CCTGACCATTTCATCAGCCGTCT</u> TCCGAGCTGTTGAGCTCTTGAC <u>AAGATCCTCTGATGGCCGAGGGC</u> |
| GFP | Jelly Fish | pTAL156N, pTAL157N | 26,25 | 25 | TAL1: HD HD NI NG NN NN HD HD NI NI HD NI HD NG NG NN NG HD NI HD NG NI HD NG NG TAL2: NN HD NN HD NG NG HD NI NG NI NG NN NI NG HD NG NN NN NN NG NI NG HD NG | 5'- <u>CCATGGCCAACACTTGTCACTACTTT</u> CTCTTATGGTCTTCATGCTTTCA <u>AGATACCCAGATCATATGAAGCCGC</u> |
| eGFP | Jelly Fish | pTAL158N, pTAL159N | 24,26 | 21 | TAL1: NI HD NI NI HD NG NI HD NI NI HD NI NN HD HD NI HD NI NI HD NN NG HD NG TAL2: HD NG NG NN NI NI NN NG NG HD NI HD HD NG NG NN NI NG NN HD HD NN NG NG HD NG | 5'- <u>ACAACCTACAACAGCCACAACGTCT</u> ATATCATGGCCGACAAGCAGA <u>AGAACGCGCATCAAGGTGAACTTCAG</u> |
| Plasmeprin A | Plasmodium | pTAL160N, pTAL161N | 19,22 | 15 | TAL1: HD NN HD NI NI NI NN NI NI NG NG NG HD NG NG NG NI NI NG TAL2: NI HD NI HD NN NN NN NI NI NI HD NG NG NI NI HD NN NI NI NN NI NG | 5'- <u>CGCAAAGAATTCTTTAAT</u> TCTAGATACAGGTC <u>ATCTTCGTTAAGTTCCGTGT</u> |
| Plasmeprin B | Plasmodium | pTAL162N, pTAL163N | 23,24 | 15 | TAL1: NI NG NG NI NG NG NN NN HD HD NG NG NI NI HD HD NI NG NI HD NG HD NG TAL2: HD HD NI NG NN NG NI NI NI NI HD NI NG NG NG NG HD NG NN NI HD NI NG | 5'- <u>ATTATTGGCCTAACCATACTCT</u> TATCTCTTATTCTTT <u>ATGTCAGAAAAATGTTTACATGG</u> |
| TT4 A | Arabidopsis | pTAL164N, pTAL165N | 19,22 | 15 | TAL1: HD HD NI NG HD NG HD NG HD NI NI NN NN NI NG NN NG NG TAL2: HD NG NI NN NI HD NG HD NG NG HD NI | 5'- <u>CCATCTCCTAACAGGTGTT</u> CCCGGCCTCATCTCC <u>AAGAACATTGTGAAAGACTAG</u> |

| | | | | | | |
|--------|-------------|-----------------------|-------|----|---|--|
| | | | | | HD NI NI NG NN NG NG HD NG NG | |
| TT4 B | Arabidopsis | pTAL166N, pTAL167N | 15,16 | 15 | TAL1: NN NG HD NN NG HD NG NG HD NG NN HD NI HD NG TAL2: NI NN NG HD NI NN HD NI HD HD NI NN NN HD NI NG | 5'- <u>GTCGTCTCTGCACT</u> ACCTCCGGCGTCGAC <u>ATGCCCTGGTGCTGACT</u> |
| ADH1 | Arabidopsis | pTAL 69N, pTAL 74N | 15,15 | 18 | TAL1: HD HD NN NN NI NG NN HD NG HD HD NG HD NG NG TAL2: NI NN NI HD NI NI NI HD HD NI HD NI NI HD NG | 5'- <u>CCGGATGCTCCTCTT</u> GACAAGGTCTGTATTGTC <u>AGTTGTGGTTGTCT</u> |
| SuRB A | Tobacco | pZHY096 pZHY106 | 17,20 | 15 | TAL1: NI HD NG NN NI NI NG NI NI NG HD NI NI HD NI HD NG TAL2: NI NG NI NN NI NI HD HD NN NI NG HD HD NG HD HD NI NG NG | 5'- <u>ACTGAATAATCAACACT</u> TGGGAATGGTGGTTC <u>AATGGGAGGATCGTTCTAT</u> |
| SuRB B | Tobacco | pZHY108 pZHY109 | 19,19 | 15 | TAL1: NI HD HD NG HD NI NG HD NI NN NN NI NI HD NI NG NN NG NG TAL2: HD NG NG NG NN NI NI NI NI NN HD HD HD HD NN HD HD NI HD NG | 5'- <u>ACCTCATCAGGAACATGTT</u> CTACCTATGATTCCC <u>AGTGGGGGGCTTCAAAG</u> |

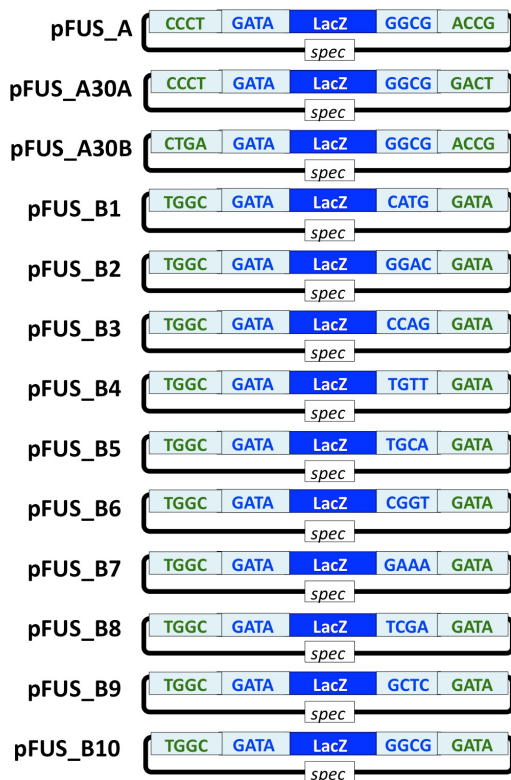
Supplementary Table S2. Activity, conformity to rules, and length of TALENs tested in the yeast assay. Activity: – no activity, + activity less than 25% of ZFN Zif268, ++ activity 25-50% of ZFN Zif268, +++ activity 50-75% ZFN Zif268, +++++ activity >75% ZFN Zif268.

| TALEN | RVDs | Activity | % GATC Ends in NG | RVD Sequence | | | | | | | | | | | | | | | | | |
|-----------|------|----------|----------------------|--------------|----|----|----|----|----|----|----|----|----|----|----|----|----|----|----|----|----|
| | | | | HD | HD | HD | NI | NN | NI | NI | NN | NG | NI | | |
| ADH1_1R12 | 12 | - | y | n | HD | HD | HD | NI | NN | NI | NI | NN | NG | NI | NI | NI | NI | NI | NI | | |
| ADH1_2R12 | 12 | - | n | n | NI | NN | NI | HD | NI | NI | NI | HD | HD | NI | HD | NI | HD | NI | NI | | |
| tt4_1L15 | 15 | - | y | y | NN | NN | HD | NI | HD | NG | NN | HD | NG | NI | NI | HD | HD | HD | NG | | |
| telo_1R15 | 15 | - | n | y | HD | NN | NN | NG | NG | NG | NN | HD | NG | NI | NG | HD | NN | NG | NG | | |
| ADH1_1R15 | 15 | + | y | y | HD | HD | HD | NI | NN | NI | NI | NN | NG | NI | NI | NI | HD | NI | NG | | |
| ADH1_2L12 | 12 | + | y | y | HD | HD | NN | NN | NI | NG | NN | HD | NG | HD | HD | NG | | | | | |
| grid_1R10 | 10 | + | n | n | NI | HD | HD | HD | HD | NG | HD | NG | HD | HD | HD | | | | | | |
| telo_1L15 | 15 | + | y | y | HD | NG | NG | NN | NG | HD | HD | NN | HD | NI | NG | NN | NI | NG | NG | | |
| telo_2L16 | 16 | + | y | y | NI | NG | NG | HD | HD | HD | HD | HD | NI | HD | NN | NI | NN | HD | NG | | |
| telo_2R17 | 17 | + | n | y | NI | NN | NI | HD | NI | NN | NN | NI | NI | NN | NG | NN | NN | NI | NN | HD | NG |
| ADH1_1L12 | 12 | ++ | y | n | NI | NG | HD | NI | NI | NN | NI | NG | NG | HD | NG | HD | | | | | |
| ADH1_2R15 | 15 | ++ | y | y | NI | NN | NI | HD | NI | NI | NI | HD | HD | NI | HD | NI | NI | HD | NG | | |
| grid_1R13 | 13 | ++ | y | y | NI | HD | HD | HD | NG | HD | NG | HD | HD | NN | HD | NG | | | | | |
| ADH1_2L15 | 15 | +++ | y | y | HD | HD | NN | NN | NI | NG | NN | HD | NG | HD | HD | NG | HD | NG | NG | | |
| grid_1L16 | 16 | ++++ | y | y | NI | HD | HD | HD | HD | NG | HD | NG | HD | HD | NN | HD | NG | NG | HD | NG | |

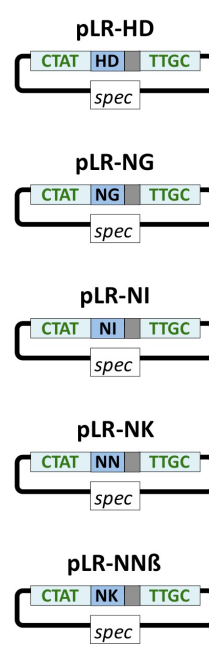
Module



Array



Last Repeat



Backbone

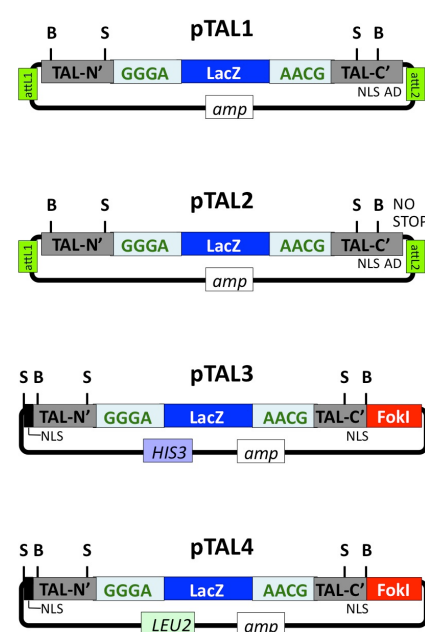


Fig. S1. Module, array, last repeat, and backbone plasmids. Overhangs left by *Bsal* digestion are shown in blue font and by *Esp3I* in green. HD modules 2-10 contain a *BspEI* site (not shown) not present in the other modules. NLS, nuclear localization signal(s); AD, transcriptional activation domain; *tet*, tetracycline; *spec*, spectinomycin; *amp*, ampicillin; *attL1* and *attL2*, recombination sites for Gateway cloning; B, *BamHI*, and S, *SphI*. Unique restriction enzyme sites flanking the entire coding sequences of the backbone constructs are not shown but can be found in the sequence files.

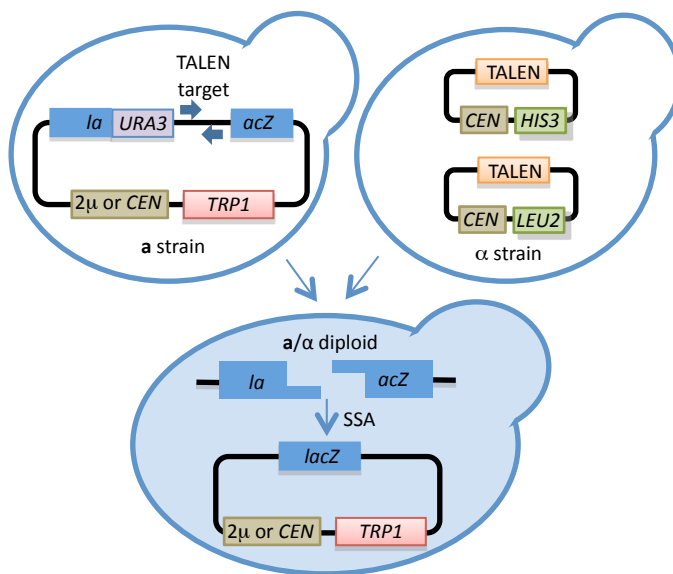
a

b

| A | B | C | D | E | F | G | H | I | Plus strand sequence | |
|----|-----------------|------------|------------|-------------|-------------|---------------|--------------|---|---|--|
| 1 | Gene | TAL1_star1 | TAL2_star1 | TAL1_length | TAL2_length | Spacer_length | Spacer_range | Perfect_TAL1 | Perfect_TAL2 | |
| 2 | HPR1T1_sequence | 374 | 442 | 15 | 28 | 26 | 389-414 | NN HD NI NG NI HD HD NG NI NI NG HD NI NG NG | NI HD NG NN NG HD NI NG NI NI NG NG NI NN NG HP GCATACCTAACATT ATGCTGAGGATT | |
| 3 | HPR1T1_sequence | 374 | 425 | 17 | 20 | 15 | 391-405 | NN HD NI NG NI HD NG NI NG HD NI NG NG NI NG | HD NI NG NN NI NN NI NI NG NI NI HD NI HD HD | HP GCATACCTAACATT ATT CATT GCTGAGGATT |
| 4 | HPR1T1_sequence | 374 | 428 | 17 | 23 | 15 | 391-405 | NN HD NI NG NI HD NG NI NI NG HD NI NG NG NI NG | NN NI NG HD NG NI NG NI NI NN NI NI HD NI NG NI NG | HP GCATACCTAACATT ATT CATT GCTGAGGATT |
| 5 | HPR1T1_sequence | 374 | 436 | 17 | 22 | 24 | 391-414 | NN HD NI NG NI HD NG NI NI NG HD NI NG NG NI NG | HD NI NG NN NG HD NI NI NG NI NN NG HD NI NG NI NG | HP GCATACCTAACATT ATT CATT GCTGAGGATT |
| 6 | HPR1T1_sequence | 374 | 438 | 17 | 24 | 24 | 391-414 | NN HD NI NG NI HD NG NI NI NG HD NI NG NG NI NG | NG HD NI NG NI NI NG NG NI NG HD NG NG | HP GCATACCTAACATT ATT CATT GCTGAGGATT |
| 7 | HPR1T1_sequence | 374 | 442 | 17 | 28 | 24 | 391-414 | NN HD NI NG NI HD NG NI NI NG HD NI NG NG NI NG | NN HD NG NN NG HD NI NG NG NG NI NG NG NG | HP GCATACCTAACATT ATT CATT GCTGAGGATT |
| 8 | HPR1T1_sequence | 374 | 436 | 20 | 22 | 21 | 394-414 | NN HD NI NG NI HD NG NI NI NG HD NI NG NG NI NG | NN HD NI NG NI NG NG NG NI NN NG HD HD NI NG NI NG | HP GCATACCTAACATT ATT CATT GCT GAGGATT |
| 9 | HPR1T1_sequence | 374 | 438 | 20 | 24 | 21 | 394-414 | NN HD NI NG NI HD NG NI NI NG NG NI NG NI NG | NN HD NG NI NG NG NG NI NG NG NG NG NG | HP GCATACCTAACATT ATT CATT GCT GAGGATT |
| 10 | HPR1T1_sequence | 374 | 442 | 20 | 28 | 21 | 394-414 | NN HD NI NG NI HD NG NI NI NG HD NG NI NG NG | NN HD NG NG NG HD NI NG NG NG NG NG NG | HP GCATACCTAACATT ATT CATT GCT GAGGATT |
| 11 | HPR1T1_sequence | 374 | 436 | 20 | 15 | 28 | 394-421 | NN HD NI NG NI HD NG NI NI NG NG NI NG NI NG NI NG NI NG | NN HD NI NG NI NG NI NG NI NG NI NG NI NG | GCATACCTAACATT ATT CATT GCT GAGGATT |
| 12 | HPR1T1_sequence | 374 | 438 | 20 | 17 | 28 | 394-421 | NN HD NI NG NI HD NG NI NG HD NG NI NG NI NG NI NG NI NG | NN HD NI NG NI NG NI NG NI NG NI NG NI NG | GCATACCTAACATT ATT CATT GCT GAGGATT |
| 13 | HPR1T1_sequence | 374 | 442 | 20 | 21 | 28 | 394-421 | NN HD NI NG NI HD NG NI NG HD NG NI NG NG NI NG NI NG NI NG | NN HD NG NG NG HD NI NG NI NG NI NG NI NG | HP GCATACCTAACATT ATT CATT GCT GAGGATT |
| 14 | HPR1T1_sequence | 374 | 446 | 20 | 25 | 28 | 394-421 | NN HD NI NG NI HD NG NI NG HD NG NI NG NG NI NG NI NG NI NG | NN HD NG NG NG HD NI NG NI NG NI NG NI NG | HP GCATACCTAACATT ATT CATT GCT GAGGATT |
| 15 | HPR1T1_sequence | 374 | 449 | 20 | 28 | 28 | 394-421 | NN HD NI NG NI HD NG NI NG HD NG NI NG NG NI NG NI NG | NN HD NG NG NG HD NG NG NG NG NG NG | HP GCATACCTAACATT ATT CATT GCT GAGGATT |
| 16 | HPR1T1_sequence | 374 | 436 | 26 | 22 | 15 | 400-414 | NN HD NI NG NI HD NG NI NI NG NI NG NG NI NG NI NG NI NG | NN HD NI NG NI NG NI NG NI NG NI NG NI NG | HP GCATACCTAACATT ATT CATT GCT GAGGATT |
| 17 | HPR1T1_sequence | 374 | 438 | 26 | 24 | 15 | 400-414 | NN HD NI NG NI HD NG NI NI NG NI NG NG NI NG NI NG NI NG | NN HD NI NG NI NG NI NG NI NG NI NG NI NG | HP GCATACCTAACATT ATT CATT GCT GAGGATT |
| 18 | HPR1T1_sequence | 374 | 442 | 26 | 28 | 15 | 400-414 | NN HD NI NG NI HD NG NI NI NG NI NG NG NI NG NI NG NI NG | NN HD NI NG NI NG NI NG NI NG NI NG NI NG | HP GCATACCTAACATT ATT CATT GCT GAGGATT |
| 19 | HPR1T1_sequence | 374 | 436 | 26 | 15 | 22 | 400-421 | NN HD NI NG NI HD NG NI NG HD NG NI NG NG NI NG NI NG | NN HD NI NG NI NG NI NG NI NG NI NG NI NG | HP GCATACCTAACATT ATT CATT GCT GAGGATT |
| 20 | HPR1T1_sequence | 374 | 438 | 26 | 17 | 22 | 400-421 | NN HD NI NG NI HD NG NI NG HD NG NI NG NG NI NG NI NG | NN HD NI NG NI NG NI NG NI NG NI NG NI NG | HP GCATACCTAACATT ATT CATT GCT GAGGATT |
| 21 | HPR1T1_sequence | 374 | 442 | 26 | 21 | 22 | 400-421 | NN HD NI NG NI HD NG NI NG HD NG NI NG NG NI NG NI NG | NN HD NI NG NI NG NI NG NI NG NI NG NI NG | HP GCATACCTAACATT ATT CATT GCT GAGGATT |
| 22 | HPR1T1_sequence | 374 | 446 | 26 | 25 | 22 | 400-421 | NN HD NI NG NI HD NG NI NG HD NG NI NG NG NI NG NI NG | NN HD NI NG NI NG NI NG NI NG NI NG NI NG | HP GCATACCTAACATT ATT CATT GCT GAGGATT |
| 23 | HPR1T1_sequence | 374 | 449 | 26 | 28 | 22 | 400-421 | NN HD NI NG NI HD NG NI NG HD NG NI NG NG NI NG NI NG | NN HD NI NG NI NG NI NG NI NG NI NG NI NG | HP GCATACCTAACATT ATT CATT GCT GAGGATT |
| 24 | HPR1T1_sequence | 374 | 442 | 26 | 17 | 26 | 400-425 | NN HD NI NG NI HD NG NI NG HD NG NI NG NG NI NG NI NG | NN HD NI NG NI NG NI NG NI NG NI NG NI NG | HP GCATACCTAACATT ATT CATT GCT GAGGATT |

Fig. S2. The TAL Effector-Nucleotide Targeter. (a) Screenshot showing the DNA sequence input window and options to include or exclude specific guidelines and to specify spacer lengths. (b) Sample output for the human *HPRT1* gene showing candidate target sequences and corresponding TALEN RVD sequences. Highlighted in the top row is the *HPRT1* A (Fig. 5) target site information. The targeter URL is boglabx.plp.iastate.edu/TALEN/.

a



b

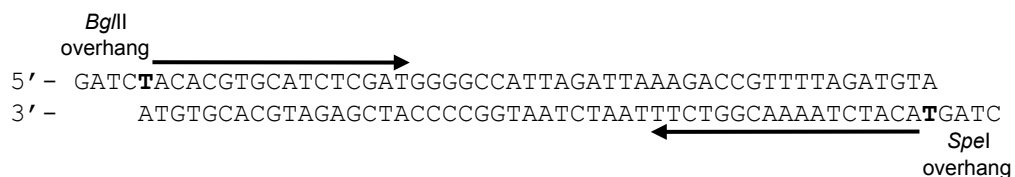


Fig. S3. The yeast assay for testing TALEN function. (a) Schematic of the assay (see text for details). SSA, single-strand annealing. (b) Example of target site oligonucleotides that are synthesized, annealed and cloned into the target plasmid pCP5. Arrows indicate the opposing TALEN monomer binding sites, separated by a spacer. The T preceding each site is in bold.